

백시멘트의 白色度에 미치는 鹽化物의 影響

韓基成* · 崔相紹** · 徐一榮**

*仁荷大 烘業工學科 **漢陽大 烘業工學科

(1976年 1月 30日 授受)

Influences of Chlorides on the Whiteness in White Portland Cement

Ki-Sung Han*, Sang-Heul Choi** and Il-Young Seo**

*Dept. of Ceram. Eng., In-Ha Univ., **Dept. of Ceram. Eng., Han-Yang Univ.

(Received Jan. 30, 1976)

ABSTRACT

Influences of chlorides (CaCl_2 , MgCl_2 , NaCl) on the colouring effect of Fe component in white portland cement was investigated.

Chlorides enhance the whiteness of the white portland cement owing to volatilization of Fe_2O_3 and translation of ferrite composition toward C_2F .

This translation is caused by consumption of alumina at the formation of C_{12}A_7 , the formation of which is promoted in the presence of chloride.

With decrease of p in ferrite composition $\text{C}_6\text{F}_{1-p}\text{A}_p$, transfer of Fe^{3+} from 4 to 6 coordinated site is occurred, and as a result, whiteness is raised.

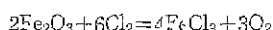
Hydration process of the cement containing a small amount of chloride differs little from the one without chloride.

1. 結論

시멘트 클린커의 複色元素는 많으나 특히 主成分 諸物成分의 하나인 鐵分의 영향이 크며, 그외에 Mn, Cr, Co, Ni, V 등이 원료로부터 도입되는 경우 바라지 않는 色相이 되는 수가 있다. 또 이를 複色元素는 構成方法, 存在상태 및 合成에 따라 그發色狀態가 다른 것으로 알리져 있다.

Garchyan, Kelashnikov 및 Mandrykin¹⁾과 Grachyan, Zubekbin, Mandrykin 및 Rotych²⁾는 鹽化物차리에 의한 白色度의 변화를 검토하였으며, 제 6 차 國際시멘트化學會議에서 Teoreanu³⁾는 백시멘트의 白色度에 미치는 鹽化物成分의 영향, 製造技術 등에 대하여 언급하였다.

본 研究에서는 백시멘트의 色相을 주로 측정한다고 보는 鐵分에 대하여 鹽化物이 미치는 영향을 검토하였다. 즉 鐵分은 鹽化物와 다음과 같은 반응



을 일으켜 挥散하는데, 이때 挥散量은 鹽化物의 結合力과 관계가 있는 것으로 보인다. 또 鹽化物의 添加에 다른 ferrite 相의 構造變化도 추구하였다.

2. 實驗 및 結果

2-1 클린커의 合成

백시멘트 제조원료 배합률에 CaCl_2 , MgCl_2 및 NaCl 을 각각 0.5, 1.0, 1.5 및 2.0%를 水熔液으로 가하여 造粒하고 1480°C 에서 20분간 構成한 후 水中急冷하여 백시멘트 클린커를 얻었다. 이 클린커를 微粉粹하여

白色度를 측정하고 鐵分量을 분석하였다. Fig. 1은 鹽化物 첨가에 따른 白色度의 변화를 보이고 있다. 白色度의 증가는 CaCl_2 , MgCl_2 및 NaCl 순이며 CaCl_2 의 경우 1% 첨가로 4%, MgCl_2 의 경우 1.5% 첨가로 3% 증가하였으며 NaCl 도 약간의 증가를 보이고 있다. Fig. 2는 鹽化物 첨가에 따른 鐵分의 감소현상을 나타낸 것이다.

한편 鹽化物 첨가에 따른 ferrite 相의 構造變化를 粉末X線回折分析으로 검토하였다. Fig. 3은 시험범위 내에서 白色度가 가장 좋았던 CaCl_2 1% 및 MgCl_2 1.5% 첨가했을 때의 예로서 主礦物은 보통 포틀랜드 시멘트의 경우와 같으나 鹽化物의 첨가로 間隙物質이 약간 많아졌음을 보이고 있다. 이를 좀 더 상세히 검토하기 위해서 클린커 해석방법^{4,5)}을 적용하여 살펴보았다. 즉 Fig. 4에 나타난 바와 같이 calcium aluminate 相은 C_{12}A_7 ⁶⁾고 ferrite 相은 低角度쪽으로 이동하고 있다.

2-2. 水和反應

鹽化物을 첨가하여 燒成한 클린커의 水和性狀를 관찰하기 위하여 클린커를 粉碎(比表面積: 2700cm²/g)하

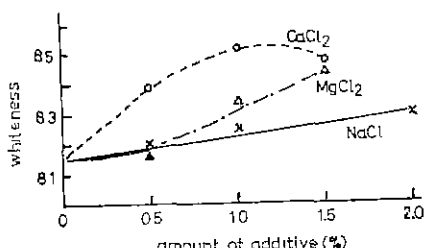


Fig. 1. Whiteness of clinkers vs. amount of additives.

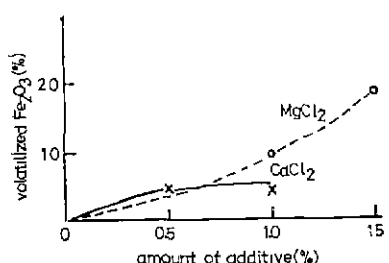


Fig. 2. Volatilized Fe_2O_3 vs. amount of additives.

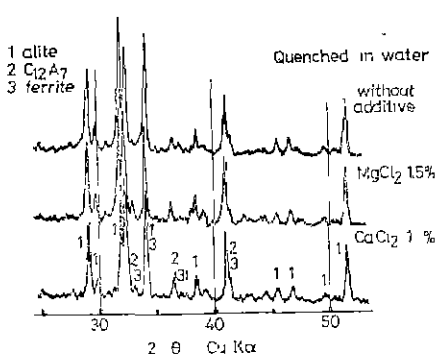


Fig. 3. Change of minerals in clinkers containing chloride.

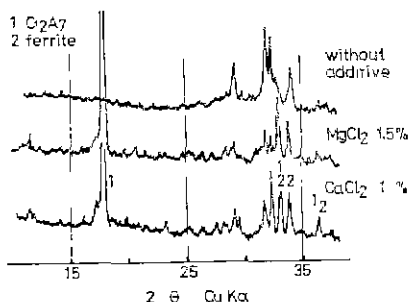


Fig. 4. X-ray diffraction patterns of residues treated by salicylic acid-methanol solution.

으로 $\text{W/C}=0.4$ 로 $20 \pm 2^\circ\text{C}$ 의 恒溫恒濕室에서 水和시켰다. 所定時間이 지난 다음 아세톤을 사용하여 水和를 정지시키고 真空乾燥하여 얻은 水和生成物을 X線回折分析과 熱分析으로 검토하였다. Fig. 5와 Fig. 6은 각각 MgCl_2 1.5%, CaCl_2 1%를 첨가하여 烧成한 클린커의 水和時間에 따른 水和生成物의 X線回折圖와 热分析圖로서 無添加物과 비교한 것이다. 鹽化物을 첨가한 클린커의 경우도 無添加의 경우와 별다른 차이를 보이지 않고 있으며, 水和가 진행함에 따라 모두 水酸化칼슘, calcium-aluminate 水和物 및 calcium silicate 水和物이 생성하면서 未水和 클린커礦物은 없어지고 있다.

3. 考 察

포틀랜드 시멘트에서 ferrite는 Fig. 7의 $\text{CaO}-\text{CaO}-\text{Al}_2\text{O}_3-2\text{CaO}\cdot\text{Fe}_2\text{O}_3$ 系 狀態圖에서 보는 바와 같이 $\text{C}_2\text{F}-\text{C}_6\text{A}_2\text{F}$ 사이에 連鎖固熔體를 이루고 있으며 그 色相은 $\text{C}_6\text{A}_2\text{F}$ 쪽으로 갈수록 어두운 色으로 변하고 있다.

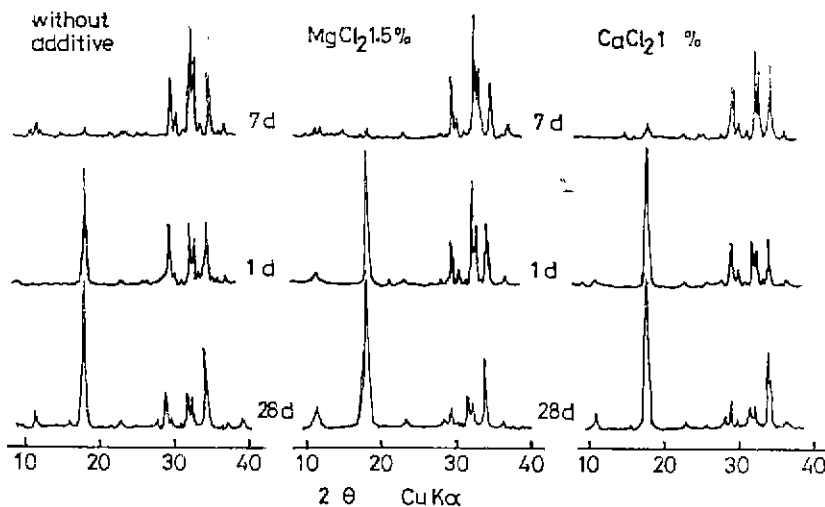


Fig. 5. X-ray diffraction patterns of hydrates of clinkers with or without chloride.

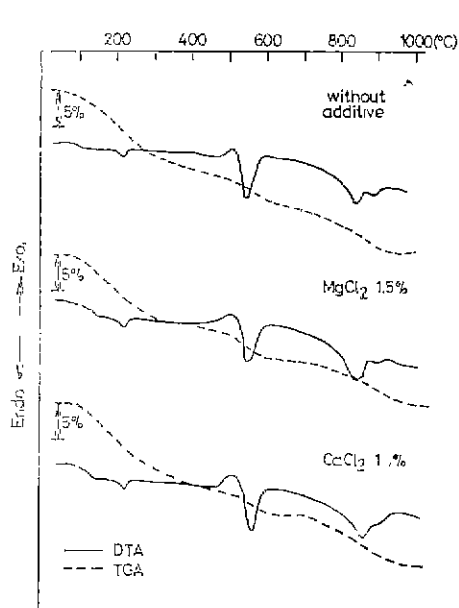


Fig. 6 DTA and TGA diagrams of 28 da-i-hydrates

클린커의 白色度는 Fe 이온의 상태에 따라서도 좌우된다. 즉 Fe^{3+} 의 還元과 Fe 이온의 6配位쪽으로의 전환은 白色度를 증가시킨다. $\text{Ca}_2(\text{Fe}_{1-\text{P}}\text{A}_\text{P})_2\text{O}_6$ ⁶⁾에서 P가 같소함에 따라 Fe^{3+} 의 配位數가 6配位쪽으로 이동

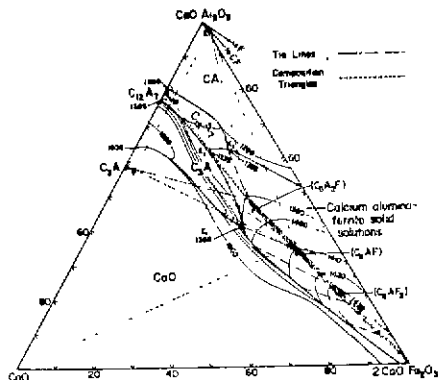
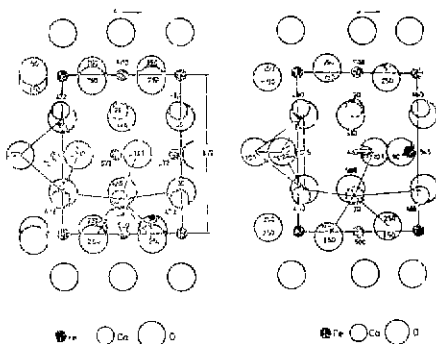


Fig. 7. Phase diagram of CaO-CaO·Al₂O₃-2CaO-Fe₂O₃ System

하게 된다. 예를 들면 C_4AF 에서 C_6AF_2 로 됨에 따라 Fe^{3+} 는 Al^{3+} 와 置換하면서 4配位에서 6配位로 바뀌고 있다.

C_2F 의構造는 Bertaut, Blum 및 Sagrrieres⁷⁾에 의하여 밝혀졌는데 Fig. 8과 같이 FeO_6 8面體와 FeO_4 4面體層이 서로 연결된網構造로 되어 있으며 Ca는 두層 사이에 위치하고 單位格子는 orthorhombic이다. Alumino ferrite固熔體 $C_2F_{1-P} A_P$ 는 C_2F 에서 약간의 Fe이온이 Al이온으로置換되어 있으면 이때 Al은 미

Fig. 8. Structure of C_2F .

지 4配位 Fe 와 置換한다. 이를 固熔體 중에서 C_4AF (brownmillerite)는 가장 안정한 것으로 그 구조는 C_2F 와 유사하며 Al 원자는 25%가 6配位 Fe 와 75%가 4配位 Fe 와 置換되어 있다⁸⁾.

또 고온 融液相으로부터 생성되는 첫組成物은 C_6AF_2 로서, 냉각될 때 따라 Al 이 Fe 와 置換固熔되어 가면서 高 알루미나組成物로 바뀌어 가게 된다.

Ferrite 相의 鹽化物에 의한 구조변화 검토를 용이하게 하기 위하여 C_4AF 組成의 化學藥品 혼합물에 각기 $MgCl_2$ 와 $CaCl_2$ 를 7% 가하여 $1340^\circ C$ 에서 30분간 燒成하고 空氣急冷하여 얻은 燒結物을 粉末X線回折分析한 결과를 Fig. 9에 나타내었다. 여기서 $C_{12}A_7$ 이 다양 생성되고 있음을 알 수 있으며, 低速으로 측정한 X線回折圖 (Fig. 10)에서 ferrite는 C_6AF_2 보다도 低角度로 이동되고 있음을 보이고 있다. 두 그림 중 30° 부근의 回折線은 角度補正를 위한 内部標準物質로 사용한 calcite에 의한 것이다.

$CaO-Al_2O_3$ 系에서 할로겐化合物의 첨가는 $C_{12}A_7$ 의 初晶域을 확대시키며 低溫 으로 이동시킨다. 본 실험에서도 이에 따라 $C_{12}A_7$ 이 다양 생성되었으며, 이로 인한 알루미나 소모로 ferrite組成이 鐵分이 많은 쪽으로 변한 것이라 생각된다.

또 이 결과로부터 鹽化物 添加時 ferrite의 格子常數를 구하여 (Table 1) C_6A_2F , C_4AF 및 C_6AF_2 의 格子비 비교하였다. Fig. 11은 化學藥品으로 調合하여 $1340^\circ C$ 에서 30分 燒成하여 얻은 C_6A_2F , C_4AF 및 C_6AF_2 의 X線回折圖이며, 또 여기에서 계산한 格子常數는 Table 2와 같다.

이상의 결과에서 鹽化物의 添加는 ferrite의 구조를 C_2F 쪽으로 이동시킨다는 것을 알 수 있다. 이는 Fe^{3+}

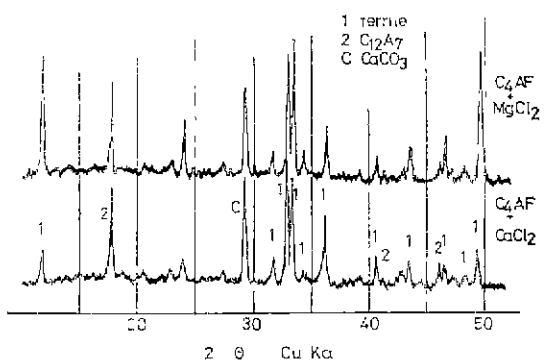


Fig. 9. X-ray diffraction patterns of ferrites containing chloride.

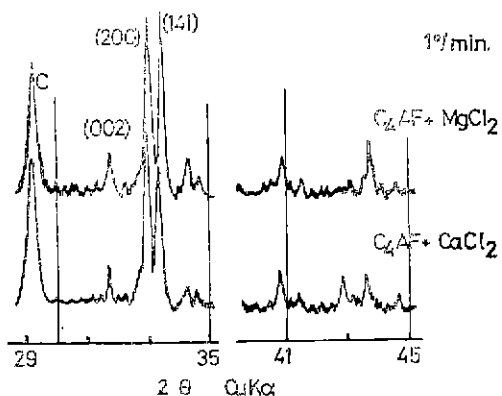


Fig. 10. X-ray diffraction patterns of ferrites containing chloride by low scanning method.

이온의 6配位 쪽으로의 전환을 일으켜 白色度의 증진을 가져온다. 또 Fig. 11에서 (200)면과 (141)면의 相對強度가 변한 것은 添加成分의 固熔을 암시하지만 이에 따른 확실한 조사가 필요하다고 본다.

증합적으로 鹽化物의 첨가는 鐵分의 摧散으로 着色効果를 낮추며, 또 ferrite組成을 6配位쪽으로 이동시킴으로써 白色度를 증진시키고 있다.

Table 1. Lattice parameters of ferrite containing chloride.

	a(Å)	b(Å)	c(Å)	V(Å ³)
$C_4AF + 7\% MgCl_2$	5.403	14,647	5,605	443.57
$C_4AF + 7\% CaCl_2$	5.414	14,685	5,609	445.94

Table 2. Lattice parameters of ferrites synthesized by chemical reagents.

	a(Å)	b(Å)	c(Å)	V(Å ³)
C ₆ A ₂ F	5.323	14.497	5.540	427.51
C ₄ AF	5.350	14.526	5.568	432.71
C ₆ AF ₂	5.372	14.585	5.575	436.80

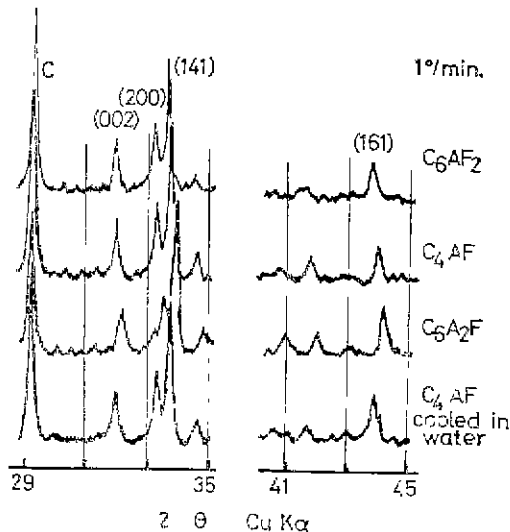


Fig. 11. X-ray diffraction patterns of ferrites synthesized by chemical reagents.

4. 結 論

백시멘트의 色相을 주로 좌우한다고 보는 部分에 대하여 鹽化物이 미치는 영향을 검토하였다.

鹽化物(CaCl₂, MgCl₂, NaCl 등)은 鹽分을 摘取시키고, ferrite 組成을 C₂F 쪽으로 전환시켜 白色度가 증진되었다. 鹽화물의 첨가에 따라 C₁₂A₇의 생성이 촉진되었고 이때 alumina가 다량 소모되었다.

Ferrite組成 C₆Al₂F_{1-P}에서 P가 감소함에 따라 Fe³⁺의 온이 4配位에서 6配位로 전환되면서 白色度를 증진시키고 있다.

또 鹽化物을 소량 첨가하여 烧成한 clinker의 水和性状은 添加物의 경우와 별다른 차이를 보이지 않는다.

References

1. A. N. Grachyan, A. P. Kalashnikov and Yu. I. Mandrykin, "Influence of the Methods of Introducing Calcium Chloride into Cement RawMix on Clinker Whiteness," *J. Appl. Chem. USSR*, **42** (5), 10006 (1969).
2. A. N. Grachyan, A. P. Zubekhin, Yu. I. Mandrykin and N. V. Rotych, "Electron Paramagnetic Resonance Study of the Structure of the Iron-enriching Components of Cement Clinkers Burned with Added Chlorides," *J. Appl. Chem. USSR*, **45** (2), 245 (1972).
3. I. Teoreanu, "The Chemistry of White and Coloured Cements," 6th Int. Cong. Chem. Cement (1974).
4. G. Yamaguchi and S. Takai, "Analysis of Portland Cement Clinker," *5th Int. Symp. Chem. Cement*, Vol. 1, 181 (1968).
5. 山口, 内川, 高木, 榎山, ベンチカルトレンクター中のカルシウムトロロアルミニネート相 및 철라이트相에 대하여, 日本セメント技術年報 XXVI, 41 (1972).
6. A. J. Majumdar, The Ferrite Phase in Cements," *Trans. Brit. Ceram. Soc.*, **64** (2), 105 (1965).
7. E. F. Bertaut, P. Blum and A. Sagnieres, "Structure of Dicalcium Ferrite and Brownmillerite," *Acta Cryst.*, **12**, 149 (1959).
8. D. K. Smith, "Crystallographic Changes with the Substitution of Aluminium for Iron in Dicalcium Ferrite," *Acta Cryst.*, **15**, 1146 (1962).